На правах рукописи



ТИХОМИРОВА Анна Игоревна

ПАЛЕОМАГНЕТИЗМ И ГЕОДИНАМИКА КИСЕЛЕВСКО-МАНОМИНСКОГО И АМУРСКОГО МЕЗОЗОЙСКИХ КОМПЛЕКСОВ СЕВЕРНОГО СИХОТЭ-АЛИНЯ

25.00.10 – геофизика, геофизические методы поисков полезных ископаемых

АВТОРЕФЕРАТ

диссертации на соискание ученой степени кандидата геолого-минералогических наук

Работа выполнена в Федеральном государственном бюджетном учреждении науки Институте тектоники и геофизики им. Ю.А. Косыгина Дальневосточного отделения РАН.

Научный руководитель:

Диденко Алексей Николаевич

доктор геолого-минералогических наук

Официальные оппоненты:

Голозубов Владимир Васильевич доктор геолого-минералогических наук, Федеральное государственное бюджетное учреждение науки Дальневосточный геологический институт Дальневосточного отлеления РАН

Метелкин Дмитрий Васильевич доктор геолого-минералогических наук, Федеральное государственное автономное образовательное учреждение высшего образования «Новосибирский национальный исследовательский государственный университет».

Ведущая организация:

Федеральное государственное бюджетное учреждение науки Северо-Восточный комплексный научно-исследовательский институт им. Н.А. Шило Дальневосточного отделения Российской академии наук (г. Магадан)

| | Защита | состоится | | _ 2014 года в | | час | | |
|--|-----------|------------------|--------|---------------|-----|-----------|--|--|
| на | заседании | диссертационного | совета | ДМ005.012.01 | при | Институте | | |
| тектоники и геофизики им. Ю.А. Косыгина ДВО РАН РАН. | | | | | | | | |

С диссертацией можно ознакомиться в библиотеке ИТиГ ДВО РАН по адресу: 680000, г. Хабаровск, ул. Ким Ю Чена, 65 и на сайте: itig@itig.as.khv.ru

| Автореферат разослан | | |
|--------------------------|----------------|---------------|
| Ученый секретарь | | |
| диссертационного совета, | Con en aue co | |
| к.г-м.н., доцент | Chi en alle Ro | А.А. Степашко |

ОБЩАЯ ХАРАКТЕРИСТИКА РАБОТЫ

Введение

Актуальность исследований

Восстановление истории формирования Сихотэ-Алинь-Северо-Сахалинского орогенного пояса является важной задачей в геологии Дальневосточного региона (Зоненшайн и др., 1990; Парфенов и др., 2003; Геодинамика..., 2006). Многие вопросы, связанные с этапностью, аккреционного процесса И другими тектонической истории пояса являются дискуссионными (Натальин, 1991; Уткин, 1996, 1997, 1999; Парфенов и др., 2003; Геодинамика..., 2006; Голозубов, 2006). Палеомагнитный метод – единственный, позволяющий на количественной основе оценить масштабы горизонтальных перемещений, включая вращение блоков земной коры, реконструировать кинематику дрейфа и взаимное положение блоков на геосфере (Палеомагнитология, 1982; Butler, 1992; Печерский, Диденко, 1995). Подобные оценки являются основой магнитотектонических моделей (Метелкин, Казанский, 2014).

Цели и задачи исследований

Цель исследований – построить магнитотектоническую модель Сихотэ-Алинь-Северо-Сахалинского орогеннго пояса на основе изучения меловых вулканогенных и осадочных пород киселевской свиты Киселевско-Маноминского комплекса и утицкой свиты Амурского комплекса

Задачи: установить направление компонент естественной остаточной намагниченности (NRM), время их формирования, рассчитать палеошироты и соответствующие палеомагнитные полюсы. Для решения основной задачи необходимо было определить носители магматизма пород киселевской и утицкой свит, стабильные компоненты NRM изучаемых пород, а также оценить достоверность полученных палеомагнитных данных.

Фактический материал и методика исследований

Каменный материал, лабораторное исследование которого положено в основу диссертационной работы, включает 4-е коллекции (427 ориентированных образцов). Результаты изучения 2-х из них: киселевской свиты Киселевско-Маноминского комплекса и утицкой свиты Амурского комплекса дали интерпретируемый результат и представляют фактическую часть работы. Изученные коллекции юрскомеловых пород Буреинского бассейн и триасовых пород Вознесенского

комплекса не дали интерпретируемого результата, установленная в них намагниченность имеет послескладчатый возраст и не пригодна для использования в магнитотектонической модели. В дальнейшем анализе данные по этим коллекциям мы не использовали.

Лабораторные палеомагнитные и петромагнитные исследования выполнены в лаборатории тектоники ИТиГ ДВО РАН (г. Хабаровск). Микрозондовые исследования — в лаборатории физико-химических методов исследования ИТиГ ДВО РАН при участии В.С. Комаровой.

Научная новизна работы

Впервые представлены результаты петро- и палеомагнитных исследований меловых вулканогенных и осадочных пород киселевской свиты Киселевско-Маноминского комплекса и утицкой свиты Амурского комплекса. Установлены характеристические компоненты NRM пород этих свит. Рассчитаны палеошироты, на которых формировались свиты и соответствующие палеомагнитные полюсы. Построены реконструкции палеоположения киселевского блока с момента формирования до современного положения в составе континентальной плиты.

Зашишаемые положения

- 1. В результате петро- и палеомагнитных исследований нижнемеловых осадочных и вулканогенных пород киселевской свиты Киселевско-Маноминского комплекса выделена характеристическая компонента NRM, определены соответствующие ей палеомагнитный полюс (Plat=18.6°, Plong=222.4°, dp=5.2, dm=9.1°) и палеоширота (18±5° с.ш.). Их сопоставление с палеомагнитными данными по стабильной Евразии (Torsvik et al., 2008) и Сибири (Метелкин и др., 2008) для этого времени свидетельствует о крупноамплитудных горизонтальных перемещениях пород свиты в составе Киселевского блока с раннего по поздний мел.
- 2. В результате петро- и палеомагнитных исследований верхнемеловых вулканогенных пород утицкой свиты Амурского комплекса выделена характеристическая компонента NRM, определены соответствующие ей палеомагнитный полюс (Plat=81.6°, Plong=208.2°, dp=10.8, dm=12.5°) и палеоширота (53.7±10.8° с.ш.). Их сопоставление с палеомагнитными данными по стабильной Евразии (Torsvik et al., 2008) и Сибири (Метелкин и др., 2008) для этого времени свидетельствует об автохтонном положении Амурского комплекса с позднего мела.
- 3. На основе вновь полученных и литературных данных разработана магнитотектоническая реконструкция становления Сихотэ-Алинь-Северо-Сахалинского орогенного пояса для мелового времени

(135–70 млн. лет), согласно которым Киселевский блок: 1) в интервале 135–105 млн. лет перемещался в составе плиты Изанаги в северозападном направлении со скоростью 15–20 см/год, пройдя расстояние более 5 тысяч километров от района современной Гавайской горячей точки до восточной окраины Евразии (район Корейского п-ова); 2) в интервале 105–70 млн. лет блок в составе фрагмента аккреционного комплекса перемещался вдоль трансформной окраины Евразии на север со скоростью 4–5 см/год до своего современного положения в составе Сихотэ-Алинь—Северо-Сахалинского орогенного пояса.

Апробация работы

Результаты по теме диссертационной работы представлены на 11-ти российских и международных научных конференциях, совещаниях и семинарах, в частности: на международной конференции «Problems of Geocosmos» (2012, Санкт-Петербург), 2-х всероссийских конференциях «Косыгинские чтения» (2011, 2013, Хабаровск), Сахалинской молодежной научной школе «Природные катастрофы: изучение, мониторинг, прогноз» (2010, Южно-Сахалинск), Краевом конкурсе молодых учёных и аспирантов в секции "Науки о жизни и Земле"

(2011, Хабаровск), 2-х научных совещаниях «Геодинамическая эволюция литосферы ЦАПП (от океана к континенту)» (2010, 2013, Иркутск), конференции молодых ученых «Океанологические исследования» (2013, Владивосток).

По теме диссертации опубликовано в соавторстве 14 печатных работ, из них 3 статьи в реферируемых научных журналах списка ВАК.

Благодарности

Выражаю глубокую признательность и искреннюю благодарность моему научному руководителю — доктору геологоминералогических наук Диденко Алексею Николаевичу, за терпение, мудрость, понимание и всестороннюю помощь в работе над диссертацией.

Крайне признательна коллегам, оказавшим неоценимую помощь, консультации и критические замечания — И.П. Войновой, В.А. Гурьянову, В.Ю. Забродину, А.С. Каретникову, Г.Л. Кирилловой и А.С. Развозжаевой, а также академику РАН А.И. Ханчуку за внимание и поддержку нашей работы.

Искренне признательна С.В. Зябреву и А.В. Кудымову за ознакомление с разрезами киселевской и утицкой свит, всем консультантам за предложения и замечания, которые существенно

способствовали улучшению качества представляемой диссертации.

Автор благодарна Е.Ю. Диденко, В.С. Комаровой, Т.Л. Корякиной, А.В. Косынкину, О.М. Меньшиковой и А.Ю. Пескову за помощь при подготовке диссертационной работы, выполнении полевых экспедиционных работ, лабораторных исследований.

Работа выполнена при финансовой поддержке грантов РФФИ (12-III-B-08-188, 13-III-B-08-199).

СОДЕРЖАНИЕ РАБОТЫ

Во *Введении* приводится общая характеристика работы: обоснована актуальность работы, сформулированы цели и задачи исследований. Кратко изложены научная новизна, теоретическое и практическое значение, обозначена степень личного участия автора в получении основных научных результатов работы. Сформулированы основные защищаемые положения.

Глава 1. Геологическое описание района исследований, существующие тектонические модели, палеомагнитная изученность региона

Значительную часть восточной окраины континента образуют покровно-складчатые структуры Сихотэ-Алинь-Северо-Сахалинского орогенного пояса (рис. 1) (Парфенов, 1984; Геодинамика..., 2006). Пояс разделен рифтовой впадиной Татарского миоценового возраста (Зоненшайн Maruyama et al., 1997) на Сихотэ-Алиньскую и Хоккайдо-Сахалинскую системы, ранее составлявщие единое целое. Структуры Хоккайдо-Сахалинской системы занимают территорию островов Хоккайдо (Япония), Сахалин (Россия) и ограничены с востока современной Курило-Камчатской островной дугой, маркирующей Тихоокеанской и Охотоморской литосферных плит. Сихотэ-Алиньская складчато-покровная система расположена на территории России от берегов Японского моря на юге до Охотского моря на севере. Западным ограничением является раннепалеозойский Бурея-Ханкайский Ha севере структуры Сихотэ-Алиньской пояс. Монголо-Охотского системыторцово сочленяются со структурами складчато-покровного пояса, на юге - они ограничены впадиной Японского моря.

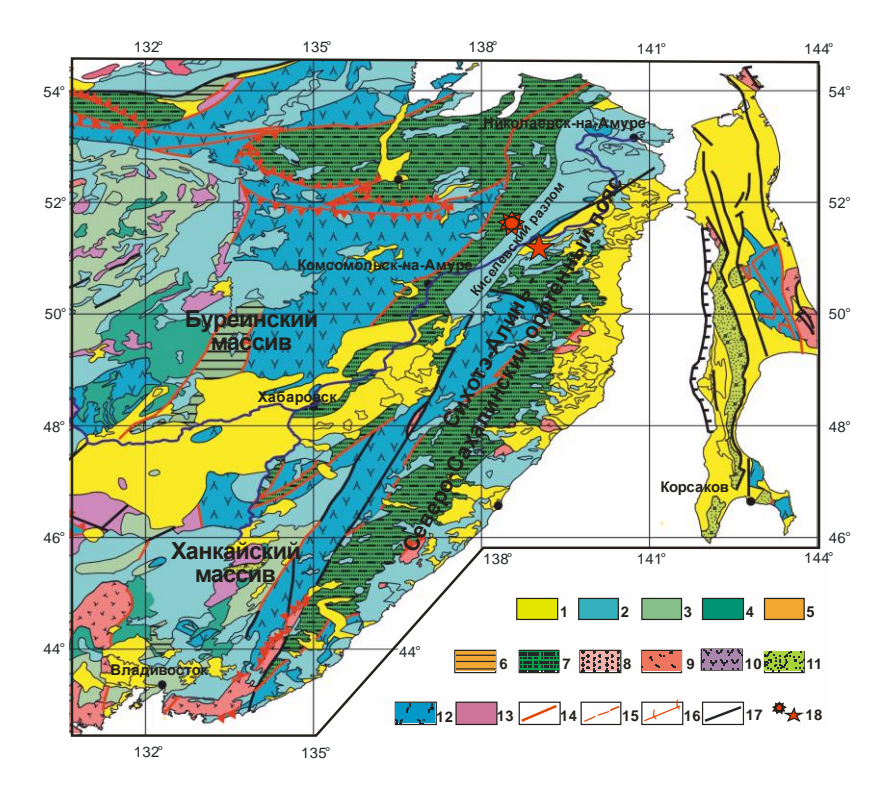


Рис. 1. Геологическая схема Сихотэ-Алиньского орогенного пояса и прилегающих территорий по (Naumova V.V. et al., 2006) с изменениями.

Условные обозначения: 1-5 – перекрывающие породы: 1 – кайнозой, 2 – мезозой, 3 – девон-пермь, 4 – венд-силур, 5 – рифей; 6-13 – террейны: 6 – пассивная континентальная окраина, 7 - турбидиты континентальной окраины, 8 - дуга континентальной окраины, 9 - островная дуга, 10 - океаническая кора, 11 - аккреционная призма А, в основном турбидиты, океанические породы в меньшем количестве или отсутствуют, 12 - аккреционная призма В, в основном океанические породы, турбидитов меньше, 13 - метаморфические; 14-16 - пост-аккреционные разломы: 14 - направление смещения неизвестно, 15 – сдвиг, 16 – надвиг; 17 – другие разломы, 18 – район исследования: утицкая свита (9-ти угольная звезда); киселевская свита (5-ти угольная звезда).

Один из объектов Сихотэ-Алинь-Северо-Сахалинского орогенного пояса — киселевская свита Киселевско-Маноминского комплекса нами изучалась в береговом разрезе левобережья р. Амур у села Киселевка, где она представлена плитчатыми кремнями, чередующимися со щелочными вулканитами и известняками. Структура

изученного вулканогенно-кремнистой толщи пород представляет собой пакет из 4-х тектонических пластин, сложенных ленточными и массивными кремнями, чередующимися с телами базальтовых потоков различной мощности. Пластины отделяются друг от друга зонами разлинзованием срывов, выражающимися интенсивным рассланцеванием кремней. К зонам срывов приурочены и складчатые деформации. Падение залегания слоев в пластинах варьируется преимущественно от западного до северного направления с углами от 20 до 80 градусов. В зонах срывов, к которым приурочены и складчатые деформации, встречаются запрокинутые залегания (Кайдалов и др., 1990; Войнова и др., 1994; Зябрев, 1994; Кайдалов и др., 2007). На основе петро- и геохимического изучения вулканогенных пород киселевской свиты (Войнова и др., 1994; Диденко и др., 2014) предполагается, что эти породы формировались во внутриплитной океанической обстановке, так как петро- и геохимические характеристики изученных вулканических пород блока близки таковым вулканитов Гавайской горячей точки.

Вторым объектом исследований являлись сеноман-туронские (Кайдалов, 1990; Кайдалов и др., 2007) породы утицкой свиты Амурского комплекса. Основной объем утицкой свиты в данной части ее разреза выполняют осадочные породы: конгломераты, песчаники и алевролиты. В подчиненном количестве находятся туфы среднего состава, андезиты и андезибазальты, базальты (Кайдалов и др., 1990; Медведева, Кириллова, 2007; Кайдалов и др., 2007). Падение слоев утицкой свиты в изученном разрезе на север и северо-восток имеет северные и северо-восточные румбы, при углах падения – от 30 до 70°.

В районе исследования породы утицкой свиты отделены пород киселевской свиты Киселевским разлмом, прослеживается от побережья оз. Удыль на юг на расстояние около 100 км. Разлом считается (Кудымов, 2010) продолжением Центрально-Сихотэ-Алиньского слвига. что согласуется проведенными наблюдениями непосредственно в зоне контакта утицкой и киселевской свит – установлена сдвиго-надвиговая природа разлома, по которому образования киселевской свиты надвинуты на породы силасинской и утицкой свит с вертикальной амплитудой смещения более 2 км (Кайдалов и др., 2007).

С целью «уменьшить расхождение во взглядах на тектоническую эволюцию северо-восточной Евразии» (Баженов и др., 199, стр. 181) предпринимались палеомагнитные работы: Захаров, Сокорев (1991),

(1999).Otofuii et al. (1995.2003). Баженов И др. Bretshtein et al. (1997, 2003), Uno et al. (1999), Сокарев, Кулинич (2012). Однако существовавший до последнего времени набор мезозойских палеомагнитных данных по региону не позволял сколь-нибудь уверенно крупномасштабных горизонтальных перемещениях говорить террейнов, образующих сейчас Сихотэ-Алинь-Северо-Сахалинский орогенный пояс.

Глава 2. Методика палеомагнитных и петромагнитных исследований, использованная аппаратура

Для определения состава и структуры носителей магнетизма осадочных и вулканогенных пород, их магнитной жесткости были изучены следующие характеристики: 1) температурные зависимости намагниченности насыщения (Js-T) от комнатной температуры до 600-700°С с определением точек Кюри (Тс) на весах Кюри; 2) петли гистерезиса, намагниченность насыщения (Js), намагниченность остаточного насыщения (Jrs), коэрцитивная сила (Нс) и остаточная коэрцитивная сила (Нсг) на установке для снятия параметров петли гистерезиса; 3) состав и структура магнитных минералов в аншлифах 10 образцов на растровом электронном микроскопе EVO-40HV Zeiss с энергодисперсионным анализатором X-MAX 80.

У всех образцов была измерена начальная магнитная восприимчивость (k) на каппа-мосте МFК1-FA. Рассчитывались направления и величины главных осей эллипсоида k. Измерения остаточной намагниченности проводились на спин-магнитометре JR-6A, помещенном в кольца Гельмгольца. С 2012г. измерения выполнялись на СКВИД-магнитометре 755-4K SRM.

Все образцы палеомагнитных коллекций были подвергнуты ступенчатой температурной чистке (Т-чистка) от 100 до 690°С с числом шагов от 17 до 21 в электропечи, помещенной в 4 пермаллоевых экрана (степень компенсации магнитного поля до 15 нТл).

Глава 3. Петромагнитная и палеомагнитная характеристики вулканогенных и осадочных пород киселевской свиты Киселевско-Маноминского комплекса

По результатам термомагнитного анализа (ТМА) алевролитов было установлено, что их магнитная фракция представлена в основном гематитом. Гистерезисные параметры свидетельствуют о многодоменной структуре магнитных минералов в образце. ТМА базальтов показал, что их магнитная фракция представлена в основном магнетитом и катион-дефицитным магнетитом. Также ТМА ряда образцов базальтов позволяет говорить и гомогенизации продуктов высокотемпературного распада исходных титаномагнетитов базальтов, имевшего постмагматической сталии (Печерский 1975: на др., Dunlop, Ozdemir, 1997). Гистерезисные параметры свидетельствуют о псевдооднодоменной структуре магнитных минералов в этом образцах.

Сопоставление данных о составе и структуре магнитных минералов базальтов, изученных на электронном микроскопе с микроанализатором, с данными ТМА показало: 1) первичные магнитные минералы - это титаномагнетиты различного размера от первых до 100 мк; 2) согласно оценкам, сделанным по величине ульвошпинельного компонента доля В титаномагнетитах составляла от 0.25 до 0.75 при среднем около 0.65; 3) магнитные свойства базальтов в настоящее время связаны с продуктами высокотемпературного распада первичных титаномагнетитов, вероятно на постмагматической стадии. Точки Кюри вновь образованных носителей намагниченности по данным Js-T составляют от 450 до 600°C. Так как высокотемпературный распад проходил на постмагматической стадии, мы можем считать стабильную компоненту NRM изученных базальтов и андезибазальтов первичной в палеомагнитном отношении.

Распределение NRM изученных образцов бимодальное: в первой, слабомагнитной, группе в основном осадочные породы (от $1.26\cdot10^{-3}$ до $2.10\cdot10^{-2}$ A/м), во второй, сильномагнитной, группе — базальты и андезибазальты (от $2.12\cdot10^{-2}$ до 5.83 A/м). Аналогичное поведение отмечается и для величины k измеренных образцов: слабомагнитная группа по NRM имеет значения k от 2.21E-04 до 1.03E-03 ед. СИ, более магнитная группа — от 3.07E-04 до 1.29E-02 ед. СИ.

Для изученных вулканических и осадочных пород киселевской свиты преимущественных направлений главных осей их эллипсоидов k не наблюдается.

Отношение Кенигсбергера (Qn) почти у 45% изученных образцов более единицы, что свидетельствует о достаточной магнитной жесткости и потенциальной палеомагнитной стабильности.

Распределение коэффициента анизотропии начальной магнитной восприимчивости Ak=(1-kmin/kmax) близко к нормальному с модовым значением около 1%. Магнитная текстура плоскостного типа является первичной и для осадочных пород, и для вулканитов из потоков. Среднее значение коэффициента $Ek=(kint\times kint)/(kmin\times kmax)$ составляет 1.004. На основании этого можно заключить, что породы Киселевско-Маноминского комплекса сильных стрессовых деформаций не испытали, за исключением образцов из приконтактных тектонических зон.

По результатам Т-чистки палеомагнитной коллекции осадочновулканогенных пород киселевской свиты Киселевско-Маноминского террейна выявлено около 20% образцов не пригодных для компонентного анализа. Образцы были отбракованы из-за нестабильного поведения NRM в ходе Т-чистки. Основная же часть образцов коллекции показала удовлетворительную палеомагнитную стабильность.

Анализ NRM показал присутствие двух статистически значимых компонент. Первая разрушается Т-чисткой до 300–400°С и имеет направление Dec = 351.7°, Inc = 58.5°, близкое к направлению современного геомагнитного поля в районе работ — Dec = 347.7° и Inc =58.5°. Вторая компонента NRM, высокотемпературная, выделяется при Т-чистке до 560-620°С. Среднее направление по всем образцам (n=12) в географической и стратиграфической системах координат составляет Dec=291.8, Inc=6.8 и Dec=275.3, Inc=-31.9.

Для дальнейшего анализа мы рассчитали среднее направление только по тем сайтам, для которых $\alpha_{95}{\le}30^\circ$, таких оказалось 11 с общим количеством образцов 73, среднее направление для которых в географической и стратиграфической системах координат представлено в таблице 1.

Таблица 1. Таблица высокотемпературной компоненты NRM

для вулканогенных и осадочных пород киселевской свиты.

| № точки (сайта) | тип породы | Аз. пад./ уг. пад., ° | n/N | Dg, ° | Ig, ° | K | α ₉₅ , | D _s , ° | I _s , ° |
|-------------------------------|---------------------------|--------------------------|-------|-------|-------|-------|-------------------|--------------------|--------------------|
| D09/31 | алевролиты | 335/60 | 17/9 | 296.0 | 20.0 | 42.4 | 8.0 | 293.0 | -28.0 |
| D09/32 | алевролиты | 15/60 | 5/4 | 314.0 | -15.0 | 16.9 | 23.0 | 286.0 | -32.0 |
| D09/34 базальты | | 10/75 | 10/8 | 304.0 | 6.0 | 63.6 | 7.0 | 293.0 | -21.0 |
| D09/35 | базальты | 320/60 | 13/10 | 285.0 | 6.0 | 94.3 | 5.0 | 271.0 | -41.0 |
| D09/39 | песчаники, алевролиты | 270/35 | 8/8 | 283.0 | 0.0 | 192.6 | 4.0 | 286.0 | -33.0 |
| D09/41 | песчаники и алевролиты | 340/40 | 8/7 | 298.0 | -5.0 | 102.1 | 6.0 | 287.0 | -32.0 |
| D10/01 | алевролиты | 340/75 | 5/4 | 278.7 | -3.2 | 194.7 | 6.6 | 254.6 | -28.1 |
| D10/02 | алевролиты | 335/65 | 5/3 | 286.3 | 0.7 | 34.9 | 21.2 | 266.1 | -36.4 |
| D10/03 | алевролиты | 325/45 | 13/6 | 286.8 | -5.5 | 16.9 | 16.8 | 273.3 | -38.4 |
| D10/04 | базальты | 120/80 | 11/7 | 358.1 | 39.0 | 21.2 | 13.4 | 69.7 | 30.9 |
| D10/05 | красные кремнии | 300/60 | 12/7 | 277.4 | 13.0 | 19.5 | 14.0 | 270.0 | -41.8 |
| | | | | | | | | | |
| Среднее по пригодным образцам | | | 73 | 285.9 | -0.4 | 5.8 | 6.8 | | |
| | | | 73 | | | 11.3 | 4.9 | 278.0 | -34.3 |
| Среднее г | іригодным | | 11 | 286.4 | -2.1 | 6.3 | 19.8 | | |
| по сайтам | | | 11 | | | 33.3 | 8.0 | 275.8 | -33.8 |

Примечание: n – количество отобранных образцов (количество точек отбора); N – количество использованных образцов (точек отбора), использованных при расчете среднего;

Среднее направление по 11 сайтам в стратиграфической системе координат с Dec= 263.6° , Inc= -33.8° , k=33.3, α_{95} = 8.0° использовано в дальнейших расчетах. Во-первых, для этого направления имеется позитивный тест складки в модификации (Enkin, 2003) — кучность в стратиграфической системе координат существенно выше как на уровне образцов, так и на уровне сайтов. Во-вторых, в разрезе киселевской свиты имеются образцы с прямой и обратной полярностью, но так как последние по количеству явно преобладают (>90%), тест

Dg, Ig – палеомагнитные склонение и наклонение в географической системе координат;

Ds, Is – палеомагнитные склонение и наклонение в стратиграфической системе координат;

К, α95 – кучность и радиус овала доверия вокруг среднего, соответственно, по (Fisher, 1953).

обращения имеет неопределенный характер. Среднее направление высокотемпературной компоненты осадочных и вулканогенных пород в стратиграфической системе координат на уровне сайтов принимается за характеристическую остаточную намагниченность, близкую по времени образования возрасту изучаемых пород – около 135 млн. лет.

Координаты соответствующего палеомагнитного полюса составляют: Plat=18.6°, Plong=222.4°, dp=5.2, dm=9.1°, α_{95} =6.9°, и находится он в тропических широтах северного полушария в западной части Тихого океана, палеоширота формирования пород киселевской свиты составляла $18\pm5^{\circ}$ с.ш.

Глава 4. Петромагнитная и палеомагнитная характеристики вулканогенно-осадочных пород утицкой свиты Амурского комплекса

По данным ТМА алевролитов и песчаников однозначно определить основной носитель магнетизма этих пород не представляется Крайне низкая концентрация первичного носителя намагниченности и появление вторичного магнитного минерала в процессе лабораторного нагрева характеризует эти породы как малопригодные палеомагнитных исследований. особенно для применением температурной магнитной Андезиты, чистки. данным TMA демонстрируют к лабораторным нагревам - отношение величин намагниченности насыщения после и до нагрева близко 1.

Распределение NRM и k бимодальное. В первую, слабомагнитную, группу, входят в основном осадочные и, отчасти, вулканогенные породы – риолиты $(5.1\cdot10^{-5} < NRM < 1\cdot10^{-2} A/m, 1.1\cdot10^{-5} < k < \sim 2\cdot10^{-3})$; во вторую, магнитную – исключительно образцы андезибазальтов и базальтов $(1\cdot10^{-1} < NRM < 6 A/m, 2.510^{-3} < k < 1.3\cdot10^{-1}$ ед. СИ).

Распределение величины Qn свидетельствует о значительном преобладании индуктивной намагниченности над остаточной у значительной части изученных пород утицкой свиты и, соответственно, об их невысокой палеомагнитной стабильности.

Величина Ak изученных образцов имеет размах от 0.56 до 13.52%, его распределение отчетливо бимодально с растянутым "хвостом" почти до 14%. Первую группу с модовым значением $Ak\sim1\%$ составляют образцы осадочных и вулканических пород, вторую – с $Ak\sim3.5\%$ выполняют образцы осадочных пород.

Образцы осалочных И вулканогенных пород в основном, в область плоскостного типа анизотропии, но встречаются также образцы с преобладаем линейного типа. Магнитная текстура плоскостного типа является первичной и для осадочных пород, и ДЛЯ вулканитов ИЗ потоков. Среднее значение коэффициента $Ek = \frac{(kint \times kint)}{(kmin \times kmax)}$ составляет 1.006 при медианном – 1.003. На этом основании мы заключаем, что основная часть изученных пород утицкой свиты стрессовых деформаций не испытала, за исключением образцов из приконтактных тектонических зон у Киселевского разлома.

На распределениях главных осей эллипсоидов по отдельным образцам осадочных пород утицкой свиты в географической и стратиграфической системах координат наблюдается достаточно тесное группирование вокруг своих средних значений направления минимальных, средних и максимальных осей. Причем, после введения поправки за залегание пород среднее направление минимальной оси становится практически вертикальным - D=255°, I=86° с параметром концентрации (аналог кучности в статистике Р. Фишера (Fisher, 1953)), равным 12.9. Средние направления максимальной и средней осей практически горизонтальны - D=62°, I=4° с K=18.7 и D=152°, I=1° c K = 10.

Анализ полученных данных позволяет нам сделать два вывода. Во-первых, наблюдаемая магнитная структура в осадках утицкой свиты свойственна первичной магнитной структуре осадочных пород, и, следовательно, вторичных стрессовых деформаций, способных изменить первичную текстуру, они не испытали (за исключением приконтактовых к Киселевскому разлому зон). Во-вторых, гидрологические условия осадконакопления пород утицкой свиты существенным образом отличались от таковых для киселевской свиты. В качестве возможного фактора, способствовавшего группированию направлений максимальных осей эллипсоидов к осадочных пород утицкой свиты, мы выделяем палеотечение в бассейне осадконакопления, направление которого, по нашим данным, могло быть в ENE-WSW румбах (50-70 – 230-250°).

Для изученных вулканических пород утицкой свиты преимущественных направлений главных осей их эллипсоидов k не наблюдается.

По результатам Т-чистки осадочных и вулканогенных пород утицкой свиты выявлено 73% образцов (152 образца из 208), не пригодных для компонентного анализа. В эту группу попали образцы галек из слоя внутриформационных конгломератов, поэтому прямой тест

палеомагнитной надежности — тест конгломератов — провести не удалось. Образцы были отбракованы из-за нестабильного поведения NRM в ходе Т-чистки. Иное поведение в ходе Т-чистки демонстрируют образцы андезитов и андезибазальтов. Среднее направление выделенной высокотемпературной компоненты вулканогенных пород утицкой свиты в стратиграфической системе: $Dec = 13.4^{\circ}$, $Inc = 69.8^{\circ}$, $\alpha_{95} = 7.3^{\circ}$, полученное после введения попровки за залегание пород, приняли за характеристическую остаточную намагниченность, время образования которой близко возрасту изучаемых пород — сеноман-турон (~ 95 млн. лет).

Палеоширота, на которой формировались породы утицкой свиты, составляла в среднем 53.7° с.ш. (от 43.8 до 65.4° с.ш.). Координаты соответствующего палеомагнитного полюса составляют: Plat=81.6°, Plong=208.2°, dp=10.8, dm=12.5°, α_{95} =11.6°, находится он в высоких широтах в акватории Северного Ледовитого океана.

Глава 5. Анализ данных и меловая история развития региона

Для оценки палеомагнитной надежности двух вновь полученных палеомагнитных направлений для Киселевско-Маноминского и Амурского комплексов был применен ряд необходимых и достаточных тестов — геологические, геофизические и петромагнитные, анализ позволил сделать следующие выводы:

- 1) палеомагнитное направление и соответствующий ему палеомагнитный полюс киселевской свиты удовлетворяют практически всем критериям (6-й пункт с натяжкой наличие в коллекции прямо и обратно намагниченных пород) и могут быть отнесены к разряду высоконадежных ключевых определений с индексом не ниже 5 по шкале (Van der Voo, 1990) и 1 по шкале (Печерский, Диденко, 1995). Здесь следует подчеркнуть также, что древняя компонента NRM киселевской свиты получена как по осадочным, так и по вулканическим породам;
- 2) палеомагнитное направление и соответствующий ему палеомагнитный полюс утицкой свиты полностью удовлетворяют только 3 из 7 критериев по (Van der Voo, 1990). Главное, нет прямых геофизических тестов, использованы только вулканические породы, сконцентрированные в небольшой части разреза свиты. Палеомагнитное направление и соответствующий ему палеомагнитный полюс утицкой свиты могут быть отнесены к разряду определений с индексом 3

по шкале (Van der Voo, 1990) и 0.1 по шкале (Печерский, Диденко, 1995).

Анализ положений палеомагнитных полюсов (рис. 2) позволяет говорить о следующем. Положение палеомагнитного полюса утицкой свиты с возрастом примерно 95 млн. лет, полученное в настоящей работе, располагается у участков ТКМП стабильной (Torsvik et al., 2008) и Сибири (Метелкин и др., 2008) соответствующего возраста. Пересчитанное (ожидаемое) палеомагнитное направление со среднего полюса для 100 и 90 млн. лет ТКМП стабильной Евразии Dec=8.9°, Inc=73.5° и очень наблюденному составляет близко палеомагнитному направлению – Dec= 13.4° , Inc= 69.8° с a_{95} = 7.3° . Это сходство, полагаем, свидетельствует о первичности выделенного палеомагнитного направления в андезибазальтах утицкой свиты и ее автохтонности относительно позднемеловой окраины Евразийского палеоконтинента, в составе которого она в дальнейшем испытала незначительное смещение к югу с одновременным разворотом по часовой стрелке на 10-15°.

Полученный в настоящей работе палеомагнитный полюс для нижнемеловых пород Киселевского блока, так же как и полюсы для меловых пород о. Сахалин (Abrajevich et al., 2012), располагается направлений влали ОТ возможного перемагничивания (Баженов и др., 1999). Все они закономерно по времени (ранний-поздний мел) находятся в субмеридиональной полосе от тропических до высоких широт. Подобное закономерное, на наш взгляд, расположение полюсов является свидетельством обшей для Сахалина и Киселевско-Маноминского комплекса. В значительной мере, истории крупноамплитудных горизонтальных перемещений. Пересчитанное (ожидаемое) палеомагнитное направление со среднего полюса для 140 и 130 млн. лет ТКМП стабильной Евразии составляет Dec=26.1°, Inc=74.5°, существенно отличается от наблюленного палеомагнитного направления – Dec= 95.8° . Inc= 33.8° с $\alpha_{05}=8.0^{\circ}$. Это. полагаем. свидетельствует об аллохтонной природе пород киселевской свиты относительно стабильной (континентальной) Евразии.

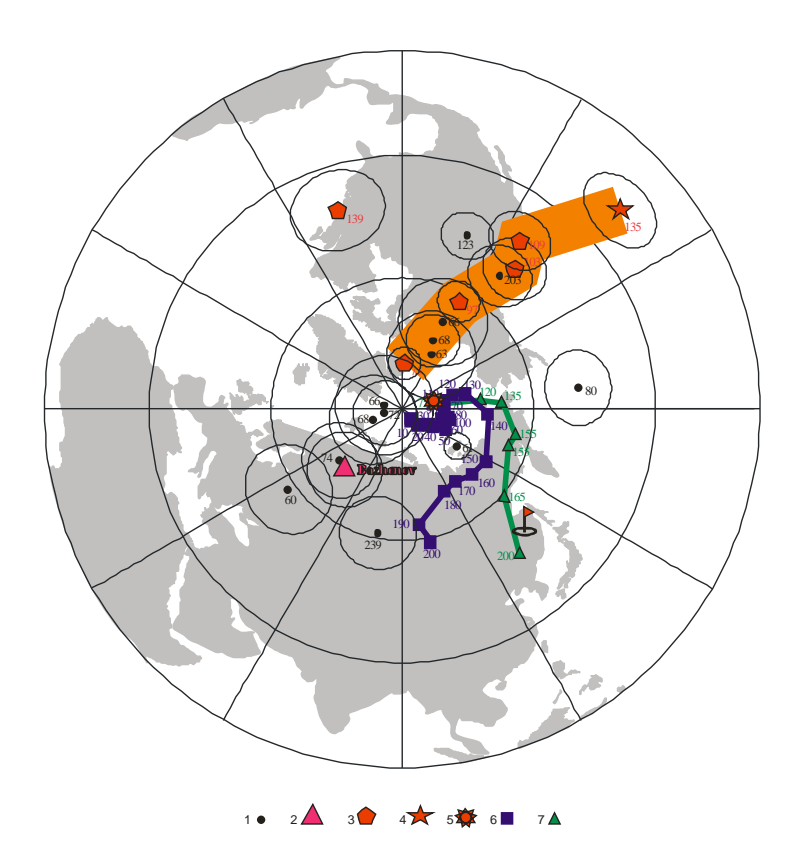


Рис. 2. Положения палеомагнитных полюсов мезозойских пород Сихотэ-Алинь—Северо-Сахалинского орогенного пояса: 1 — полюсы из Мировой базы палеомагнитных данных; 2 — полюс регионального перемагничивания (Баженов и др., 1999); 3 — мезозойские полюсы Приморья и Сахалина (Abrajevich et al., 2012); 4 — палеомагнитный полюс киселевской свиты; 5 — палеомагнитный полюс утицкой свиты; 6 — ТКМП стабильной Европы (Torsvik et al., 2008); 7 — ТКМП для Сибири (Метелкин и др., 2008). Вокруг фигуративных точек полюсов обозначен овал доверия α_{95} . Равноплощадная стереографическая проекция Шмидта.

В наблюденных палеоширотах и палеосклонений для пород киселевской свиты и меловых объектов Сахалина (рис. 3) прослеживается тренд увеличения от экваториально-тропических северного полушария до современных и их постепенное сближение с ожидаемыми в интервале 80–60 млн. лет. Отчетливо проявляется вращение по часовой стрелке (до 70–80°) относительно восточной

окраины Евразии, стабильной в меловое время. Для пород утицкой свиты наблюдается иная ситуация — ожидаемые и наблюденные палеошироты и палеомагнитные склонения практически совпадают.

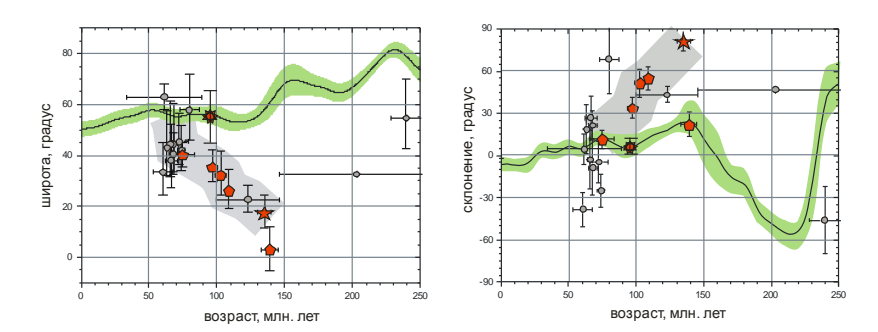


Рис. 3. Сопоставление наблюденных палеоширот и палеосклонений киселевской (пятиугольная звезда), утицкой свит (9-ти угольная звезда), мезозойских объектов Приморья и Сахалина (пятиугольник) и расчетных с полюсов (зеленая линия) стабильной Евразии (Torsvik et al., 2008) (круг).

Петрогеохимические (Войнова и др., 1994; Диденко и др., 2014 б) (переслаивание текстурно-структурные c радиоляриевыми кремнистыми образованиями, наличие гиалокластитов и шаровой отдельности в лавах) характеристики базальтов киселевской свиты свидетельствуют о формировании их в водной среде – на океанических островах и гайотах, вероятно, во внутриплитных океанических условиях (Диденко и др., 2014 а, б; Ступина, 2010), а также подтверждают вывод об океанической внутриплитной природе базальтов свиты. Состав, облик морфология пород киселевской свиты, по мнению многих исследователей (Войнова и др., 1994; Кириллова, Анойкин, 2011; Ханчук, 1994: И др.), весьма сходны c образованиями внутриокеанических плит. Наши петро- и геохимические исследования (Диденко и др., 2014 б) полностью это подтвердили.

Реконструкция геодинамических условий формирования пород утицкой свиты, по петрохимическим характеристикам осадочных пород показала, что они соответствуют породам, формировавшимся в условиях активных континентальных окраин (Медведева, Кириллова, 2007; Кайдалов и др., 2007).

На основании вышерассмотренных палеомагнитных данных для меловых пород киселевской и утицкой свит Северного Сихотэ-Алиня и Сахалина, геолого-геохимической информации об их генезисе, а также

имеющихся палеогеодинамических реконструкций для Сихотэ-Алинь-Северо-Сахалинского орогена (Ханчук, Кемкин, 2003; Парфенов и др., 2003; Геодинамика ... 2006; и др.) предлагается следующая модель меловой истории развития региона (рис. 4). В качестве основы представляемой здесь региональной модели взяты глобальные плитные реконструкции (Seton et al., 2012), построенные на основе синтеза кинематических данных по океаническим плитам и рассчитанным абсолютным движениям жестких в тектоническом отношении плит относительно системы горячих точек.

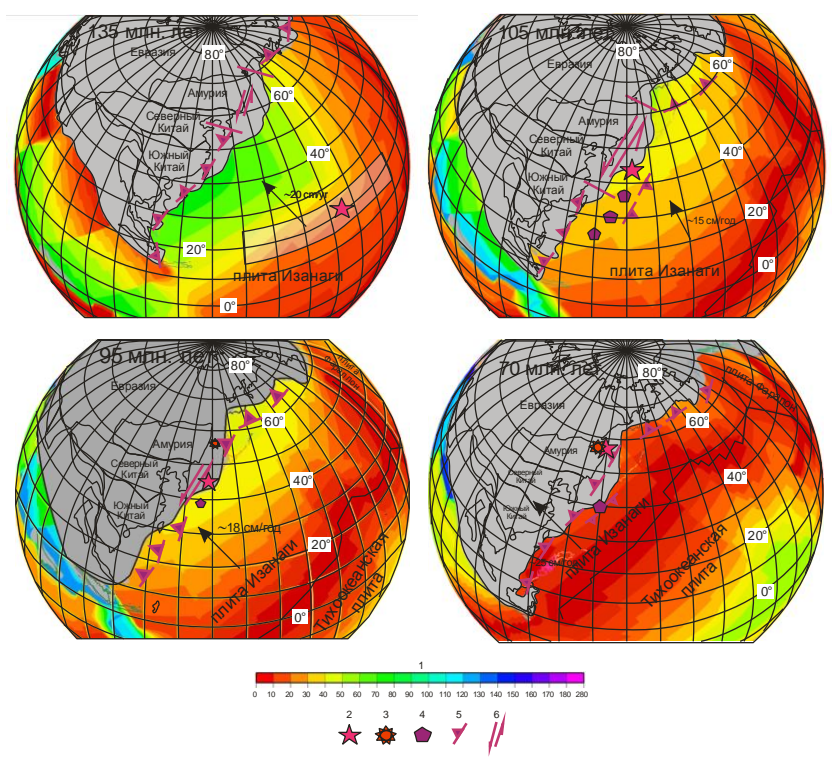


Рис. 4. Геодинамическая реконструкция восточной окраины Азии начиная с 135 млн лел с использованием кинематических реконструкций (Seton et al., 2012): 1 — шкала с датировками линейных геомагнитных аномалий, принятых в качестве граничных изохрон (Muller et al., 1997); 2 — киселевская свита; 3 — утицкая свита; 4 — о. Сахалин; 5 — островные дуги; 6 — сдвиговые перемещения. Светлый прямоугольник — участок плиты Изанаги, в составе которой формировался Киселевский блок.

В интервале 135–105 млн лет назад осадочные и вулканогенные породы киселевской свиты Киселевско-Маноминского комплекса перемещались в составе плиты Изанаги в северо-западном направлении со скоростью 15–20 см/год (Engebretson et al., 1985; Магиуата, Seno, 1986), пройдя, таким образом, расстояние более 5 тыс. км до восточной окраины Евразии (район Корейского полуострова). В интервале 105–70 млн лет назад в составе фрагмента аккреционного комплекса (Натальин, 1991) породы киселевской свиты перемещались вдоль трансформной окраины Евразии на север (Engebretson et al., 1985) со скоростью 4–5 см/год (Steinberger, Gaina, 2007) до своего современного положения в составе стабильной (континентальной) Евразийской плиты.

Заключение

В результате проведенных геолого-геофизических исследований были выделены характеристические компоненты NRM пород киселевской и утицкой свит. Установлены палеошироты, на которых формировались породы свит, и координаты палеомагнитных полюсов. Полученные данные свидетельствуют о крупноамплитудных горизонтальных перемещениях пород киселевской свиты и автохтонном положении утицкой свиты.

Разработана магнитотектоническая реконструкция движения Киселевского блока Сихотэ-Алинь—Северо-Сахалинского орогенного пояса с момента формирования до современного положения в составе стабильной (континентальной) Евразийской плиты для мелового времени.

Полученные в настоящей работе данные согласуются с моделью по (Парфенов и др., 2003; Геодинамика..., 2006; и др.), в рамках которой постулируются крупномасштабные горизонтальные перемещения отдельных блоков, в частности и Киселевско-Маноминского.

СПИСОК РАБОТ, ОПУБЛИКОВАННЫХ ПО ТЕМЕ ДИССЕРТАЦИИ

Статьи в рецензируемых журналах списка ВАК:

- 1. Диденко А.Н., Ханчук А.И., Тихомирова А.И. Палеомагнетизм киселевского комплекса Киселевско-Маноминского террейна Сихотэ-Алиня: геодинамические следствия: геодинамические следствия // Доклады Академии наук, 2014 а. Т. 454, №4, с. 442-446.
- 2. Диденко А.Н., Ханчук А.И., Тихомирова А.И., Войнова И.П. Восточный сегмент Киселевско-Маноминского террейна (северный Сихотэ-Алинь): палеомагнетизм и геодинамические следствия // Тихоокеанская геология, 2014 б. Т. 33, №1, с. 20–40.
- 3. Ступина А.И. Палеомагнетизм юрско-меловых пород киселевского блока Киселевско-Маноминского террейна // Вестник ДВО РАН. 2010. №6. с. 120-124.

Материалы совещаний, тезисы докладов:

- 1. Ступина А.И., Косынкин А.В., Песков А.Ю., Диденко А.Н. Палеомагнетизм юрско-меловых пород Киселевско-Маноминского террейна // Природные катастрофы: изучение, мониторинг, прогноз: V Сахалинская молодежная научная школа, Южно-Сахалинск, 8-11 июня 2010 г.: тезисы докладов ИМГиГ ДВо РАН. с. 138-141
- 2. Ступина А.И., Косынкин А.В., Песков А.Ю., Диденко А.Н. Палеомагнетизм Киселевско-Маноминского террейна / Геодинамическая эволюция литосферы Центрально-Азиатского подвижного пояса (от океана к континенту): Материалы совещания. Вып. 8. Иркутск: Институт земной коры СО РАН, 2010. В 2-х томах. Т. 2. с. 104-105.
- 3. Ступина А.И. Палеомагнетизм Киселевско-Маноминского террейна / Молодые ученые Хабаровскому краю: материалы XIII краевого конкурса молодых учёных и аспирантов, Хабаровск 14-25 января 2011 г. в 2 т. Хабаровск: Изд-во Тихоокеан. Гос. Ун-та, 2011. Т. 2. С. 90-94
- 4. Ступина А.И., Косынкин А.В., Песков А.Ю. Палеомагнетизм пород киселевского блока Киселевско-Маноминского террейна / Тектоника, магматизм и геодинамика Востока Азии: VII Косыгинские чтения: материалы всероссийской конференции, 12–15 сентября 2011, г. Хабаровск: ИТиГ им. Ю.А. Косыгина ДВО РАН, 2011. с.127-129
- 5. Ступина А.И. Кинематическая модель Киселевско-Маноминского террейна / Молодые ученые – Хабаровскому краю:

- материалы XIV краевого конкурса молодых ученых и аспирантов, Хабаровск, 17-24 янв. 2012 г.: в 2 т. Хабаровск: Изд-во Тихоокеан. Гос. Ун-та, 2012.-T.2.-C. 71-76
- 6. Ступина А.И., Диденко А.Н. Киселевско-Маноминский террейн: палеомагнетизм и геодинамика / Геодинамическая эволюция литосферы Центрально-Азиатского подвижного пояса (от океана к континенту): Материалы совещания. Вып. 10. Иркутск: Институт земной коры СО РАН, 2012. Т. 2 С. 106-108
- 7. Ступина А.И., Косынкин А.В., Песков А.Ю., Диденко А.Н. Палеомагнетизм юрско-меловых пород Киселевско-Маноминского аккреционного комплекса / Палеомагнетизм и магнетизм горных пород: Материалыв международного семинара по проблемам палеомагнетизма и магнетизма горных пород, Санкт-Петербург Петродворец, 20-24 сентября 2010 г. с. 142-148.
- 8. Тихомирова А.И., Диденко А.Н. Палеомагнетизм и геодинамика Киселевско-Маноминского террейна (северо-восток Сихотэ-Алиньского орогена) / Океанологическиен исследования: тезисы докладов VI конференции молодых ученых, 15-19 апреля 2013 г., Владивосток, Россия. Владивосток: Дальнаука, 2013. с. 67-68.
- 9. Тихомирова А.И., Диденко А.Н. Юрско-меловые породы Киселевско-Маноминского террейна (северный Сихотэ-Алинь): палеомагнетизм и геодинамика /. Геодинамическая эволюция литосферы Центрально-Азиатского подвижного пояса (от океана к континенту): материалы совещания. Вып. 11. Иркутск: Институт земной коры СО РАН, 2013. с. 237-240.
- 10. Ханчук А.И., Диденко А.Н., Тихомирова А.И., Войнова И.П. Палеомагнетизм и геохимия киселевского блока Киселевско-Маноминского террейна (северный Сихотэ-Алинь): геодинамические следствия / Тектоника, глубинное строение и минерагения Востока Азии: VIII Косыгинские чтения: материалы Всероссийской конференции, 17-20 сентября 2013 г., г. Хабаровск. Владивосток: Дальнаука, 2013. с. 111-113
- 11. Stupina A.I., Didenko A.N. Geodinamic model Kiselevka-Manoma terrane on the basis of paleomagnetic data / 9th International Conference "Problems of geocosmos". Book of Abstracts спб.: Соло, 2012. с. 78

Технический редактор Степашко А.А.

Подписано в печать 26.06.2014 Формат 60×84/16. Бумага офсет №1. Гарнитура Таймс Печ.л. 0,9. Тираж 100. Зак. № 101